

(133) 開水路における乱れの二、三の測定について

日本大学工学部 正員 木村 審代治  
同 学生員。長林 久夫

1. まえがき

乱れの特性量の普遍関数表示は今本等が示すごとく二次元的取扱いを基本としている。今回の報告はこの普遍関数表示がより側壁の影響を受け場合にはどのように変化するかを、中小2つの水路において乱れの計測を行なった検討したものである。

2. 測定方法

Case A, B は直線部 235 m, 水路幅 4.25 m, 深さ 2 m のコンクリート製の一様長方形水路で 4 台の充電式アロマ流速計(径 128 cm)を鉛直方向に取付け同時に測定を行なつたものである。Case C, D, E は長さ 13 m, 幅 40 cm 深さ 40 cm の鋼製循環式可傾斜水路で底面は塗装ビニール板、側壁はカラス板を使用した滑面水路での結果である。変動流速の測定は定温度型熱線流速計を用いており、センサーは円筒型を使用している。

3. 結果および考察

今本の示した普遍関数表示は(1), (2) 式にて与えられる。側壁の影響を除却するため木村の式と用いて(3), (4) 式で表わし、これにより側壁の効果を調べることにする。

$\text{U}'$ : 乱れ強さ  $U$ : 測定線の平均流速

$$\begin{aligned} \text{[乱れ強さ]} &: \frac{\text{U}'}{U_f(U/U_b)^{1/2}} = \phi\left(\frac{x}{H}\right) \quad \cdots (1) & U_f: \text{流速分布係数の摩擦速度} \\ \text{[時間的平均スケール]} &: T_E/H = \phi\left(\frac{x}{H}\right) \quad \cdots (2) & U_b: \text{木村の式による測定の摩擦速度} \\ \text{[乱れ強さ]} &: \frac{\text{U}'}{U_{fb}(U/U_b)^{1/2}} = b_1\left(\frac{x}{H}\right)^{a_1} \quad \cdots (3) & T_E: \text{自己相関係数} \phi \text{の時間的平均スケール} \\ \text{[時間的平均スケール]} &: T_E/(H/U_{fb}) = b_2\left(\frac{x}{H}\right)^{a_2} \quad \cdots (4) & x: \text{路床面から測定点までの高さ} \end{aligned}$$

fig. 1 は(3)式にて全て Case と整理したもので全体的には今本の順序に従つてはいるのがわかる。fig. 2, 3 は Case A, B と Case C, D, E における側壁の影響を調べるために各測線毎に定数  $a_1, b_1$  を求めてしたものである。fig. 2 は(3)式での曲線傾度を示してあり、水路中央部での一均束則は側壁に近づくにつれて傾度が零に近づく傾向が認められる。fig. 4, 5 は(4)式で表わされる時間的平均スケールの普遍関数表示に関する定数  $a_2, b_2$  について表わしたものである。fig. 5 に示して  $b_2$  は側壁方向と水路中央部との変化は認められない。また fig. 4 の Case C, D, E における  $a_2$  についても大きな変化ではなくこれを平均渦径として換算すると水深より大きなオーダーであるので側壁の影響はあまり考慮しなくとも良いように思える。fig. 4 Case A, B の傾度  $a_2$  が頭著に側壁の影響を受けてはいると言えられるが測点数が少ないので、この関数表示して値が全体として 4 倍程度低くなることを考慮すると検討の余地は残るところである。ここで fig. 2~5 に示した横軸  $x$  は側壁から測定点までの距離  $x$  と水路の半幅で除したものである。表に示した測定諸量中  $U_{fr}$  は全断面平均の摩擦速度、 $U_{fb}, U_{bw}$  は底面、壁面の摩擦速度の平均値、 $y'$  は底面、壁面の相対位置の定数で粗面においては相当粗度を含む量である。なお(1)の測定における記録は主力電圧をペンレコーダーに記録したのに下記のサンプル時間にて読み取り数値化したものである。

| Case | H<br>(cm) | B/H  | Um<br>(cm/s) | S    | Re   | Fr    | T<br>(°C) | U*R<br>(cm/s) | U*b<br>(cm/s) | U*w<br>(cm/s) | z'<br>(cm) | y'<br>(cm) | サンプル間隔 (sec) |       | 平均値評価 |
|------|-----------|------|--------------|------|------|-------|-----------|---------------|---------------|---------------|------------|------------|--------------|-------|-------|
|      |           |      |              |      |      |       |           |               |               |               |            |            | 10^-3        | 10^-4 |       |
| A    | 135.      | 3.14 | 132.0        | 3.85 | 1.23 | 0.463 | 25.4      | 5.58          | 5.63          | 5.37          | 4.32       | 4.32       | 0.167        | 170.0 |       |
| B    | 135.      | 3.14 | 136.0        | 3.90 | 1.22 | 0.477 | 24.0      | 5.62          | 5.68          | 5.42          | 3.54       | 3.54       | 0.167        | 170.0 |       |
| C    | 3.26      | 12.2 | 74.4         | 4.62 | 2.33 | 1.42  | 25.0      | 3.56          | 3.62          | 3.03          | 2.73       | 3.26       | 0.02         | 20.5  |       |
| D    | 5.20      | 7.7  | 96.1         | 4.76 | 4.21 | 1.51  | 22.8      | 4.39          | 4.47          | 3.94          | 2.32       | 2.63       | 0.02         | 20.5  |       |
| E    | 6.68      | 6.0  | 128.7        | 4.74 | 5.61 | 1.57  | 21.2      | 4.82          | 4.91          | 4.44          | 2.19       | 2.42       | 0.02         | 22.5  |       |

#### 4. わかれに

側壁の影響を強く受ける乱れの特性量については  
乱れの強さがその影響を顕著に表わしていくと考へ  
される。

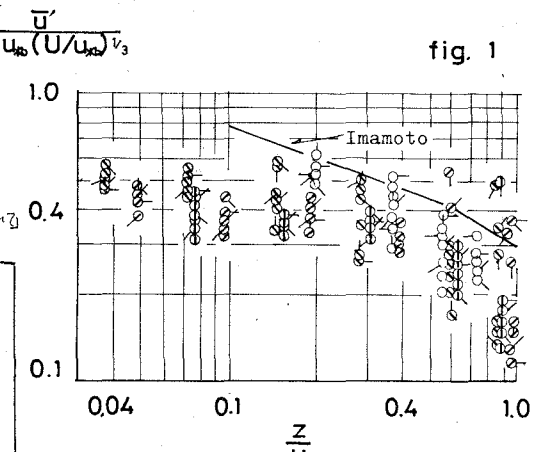
#### 参考文献

1. 今本, 清野: 「開水路流れにおける乱れの普遍的性質について」  
19回水理講演会論文集 1975年

2. 木村喜代治  
長方形水路の流れ  
(一連の近似計算)  
26回土木学会年講  
1971年

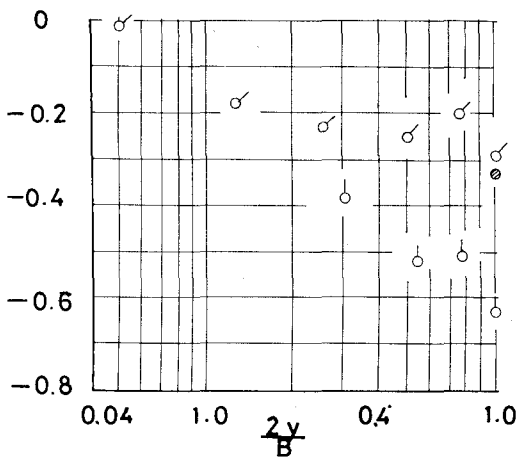
| Explanatory notes |               |              |
|-------------------|---------------|--------------|
| ○                 | Case A-1, B-1 | $2y/B = 1.0$ |
| ○                 | A-2, B-2      | 0.767        |
| ○                 | A-3, B-3      | 0.532        |
| ○                 | A-4, B-4      | 0.296        |
| ○                 | C-1, D-1, E-1 | 1.0          |
| ○                 | C-2, D-2, E-2 | 0.75         |
| ○                 | C-3, D-3, E-3 | 0.50         |
| ○                 | C-4, D-4, E-4 | 0.25         |
| ○                 | C-5, D-5, E-5 | 0.125        |
| ○                 | C-6, D-6, E-6 | 0.05         |

fig. 1



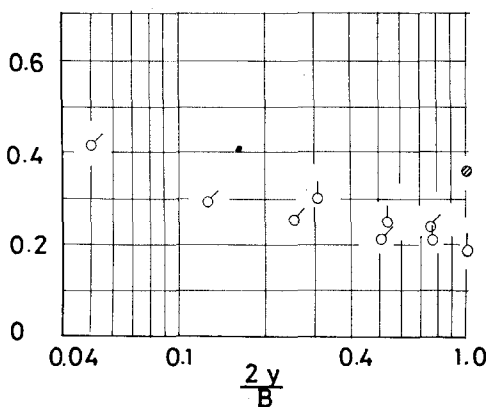
a<sub>1</sub>

fig. 2



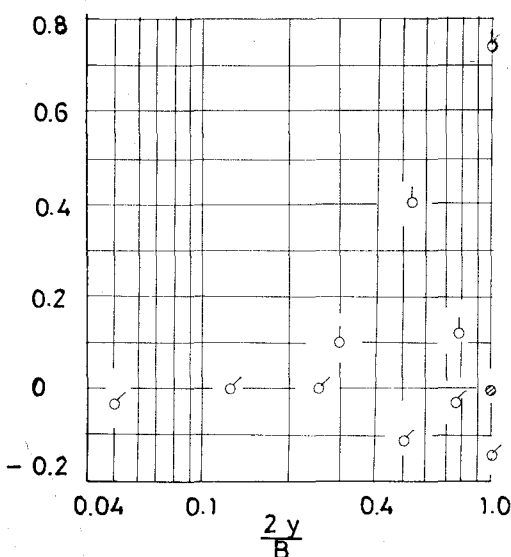
b<sub>1</sub>

fig. 3



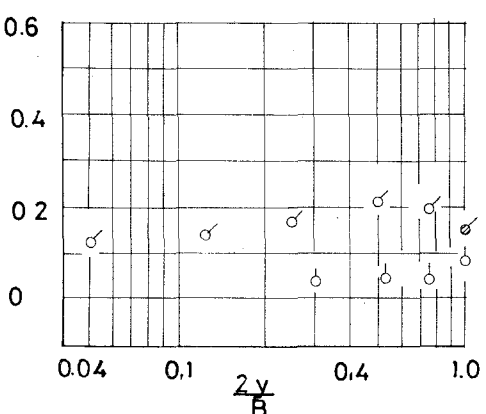
a<sub>2</sub>

fig. 4



b<sub>2</sub>

fig. 5



| Explanatory notes |              |  |
|-------------------|--------------|--|
| ○                 | Case A, B    |  |
| ○                 | Case C, D, E |  |
| ○                 | Imamoto      |  |